

- [6] Da Costa Lamas, Cang S. L., Caticha-Ellis S. // Phys. St. Sol. 1981. V. A68. P. 173—178.
 [7] Khasanov S. S., Shekhtman V. Sh. // Ferroelectrics. 1986. V. 67. N 1. P. 371—377.
 [8] Парасмян Т. К., Хасанов С. С., Шехтман В. Ш. // ФТТ. 1987. Т. 29. № 6. С. 1665—1668.

Институт физики твердого тела
и полупроводников АН БССР
Минск

Поступило в Редакцию
5 декабря 1988 г.
В окончательной редакции
6 февраля 1989 г.

УДК 537.226

Физика твердого тела, том 31, с. 7, 1989
Solid State Physics, vol. 31, № 7, 1989

АНОМАЛЬНАЯ ТЕМПЕРАТУРНАЯ ЗАВИСИМОСТЬ ДИЭЛЕКТРИЧЕСКОЙ ПРОНИЦАЕМОСТИ КРИСТАЛЛОВ Rb_2CoCl_4 , ПОЛЯРИЗОВАННЫХ ПОСТОЯННЫМ ЭЛЕКТРИЧЕСКИМ ПОЛЕМ, В ОБЛАСТИ СТРУКТУРНОГО ПЕРЕХОДА НЕСОРАЗМЕРНАЯ—ПОЛЯРНАЯ ФАЗА

B. B. Гладкий, B. A. Кириков, C. K. Гулта, B. Бржезина

Кристалл Rb_2CoCl_4 претерпевает структурные переходы однородная несразмерная (Н)—соразмерная полярная (С) фаза соответственно при 295 и 192 К [1–4]. Спонтанная поляризация возникает вдоль кристаллографической оси b (Y), где $b < a < c$ [2]. Цель работы — исследование влияния на фазовый переход Н-фаза—С-фаза и диэлектрическую проницаемость ϵ_y постоянного поляризующего электрического поля E_y .

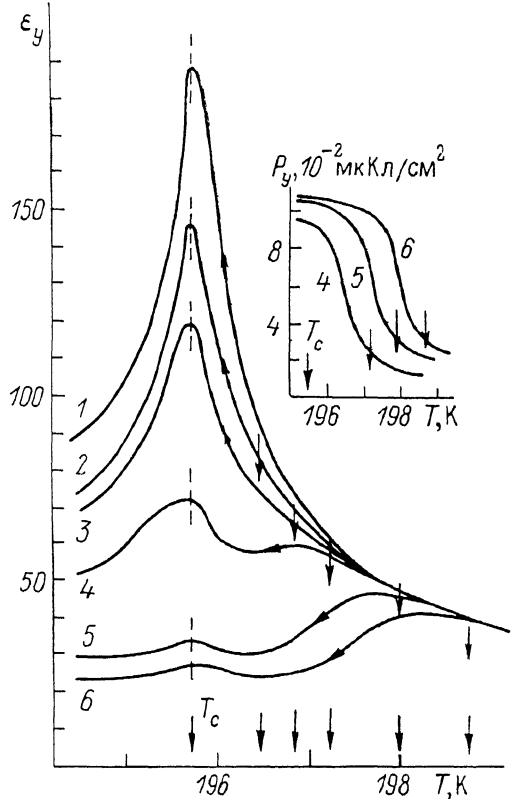
Образцы Y -среза кристалла имели форму прямоугольных пластин размером $3.5 \times 3.5 \times 0.7$ и $3.5 \times 3.5 \times 3$ мм. Электроды наносились на большие грани образцов электропроводящей серебряной пастой. Измерение ϵ_y проводилось на частоте 1 кГц.

Температурная зависимость ϵ_y исследованных образцов вблизи точки T_c перехода из Н-фазы в С-фазу в отсутствие поля E_y является типичной для всех кристаллов группы K_2SeO_4 , имеющих Н-фазу [4, 5]. Зависимости $\epsilon_y(T)$, полученные при понижении и повышении температуры, не совпадают в пределах всей области существования Н-фазы. Температурный интервал между максимальными значениями ϵ_y в точках T_c перехода при охлаждении и нагревании кристалла (температурный гистерезис) равен 1.1 К. При включении внешнего постоянного электрического поля E_y температурные зависимости ϵ_y начинают отличаться от таких же зависимостей $\epsilon_y(T)$ для кристаллов Rb_2ZnCl_4 [5] и приобретают аномальный характер (см. рисунок). При увеличении поля температурный максимум ϵ_y уменьшается, не смещаясь по температуре, зависимость $\epsilon_y(T)$ «размывается», а начиная с $E_y=4$ кВ/см появляется второй (правый) максимум ϵ_y , смещающийся в область более высоких T по мере увеличения E_y . На рисунке представлены только кривые $\epsilon_y(T)$, измеренные при понижении температуры. При повышении температуры можно наблюдать аналогичные зависимости $\epsilon_y(T)$, только смещенные к более высоким температурам на величину температурного гистерезиса ϵ_y .

Точка T_c фазового перехода в Rb_2CoCl_4 , совпадающая с T максимума ϵ_y при $E_y=0$, смещается в область больших T при увеличении поля E_y . Свидетельством этому является смещение температурных зависимостей поляризации P_y , измеренных на тех же образцах электрометрическим

методом при различных значениях E_y (вставка на рисунке). Коэффициент смещения T_c по этим данным для P_y равен $K_E = dT_c/dE_y = 0.38 \text{ К} \cdot \text{kB}^{-1} \cdot \text{см}$. Тогда точка перехода T_c в поле $E_y \neq 0$, по-видимому, равна $(T_c)_{E_y \neq 0} = T_c + K_E E$. На рисунке эти точки перехода $(T_c)_{E_y \neq 0}$ на кривых $\epsilon_y(T)$ для различных $E_y \neq 0$ указаны стрелками. Видно, что если температура левого максимума ϵ_y (см. рисунок, кривые 4—6) совпадает с T_c для $E_y = 0$, то температуры правых максимумов ϵ_y находятся несколько левее точек $(T_c)_{E_y=0}$ (отмечены стрелками) для соответствующих значений $E_y \neq 0$.

Таким образом, приведенные выше результаты аномального поведения ϵ_y , по-видимому, свидетельствуют о том, что в образцах Rb_2CoCl_4 при индуцировании электрическим полем E_y полярной фазы в температурной области между точками фазового перехода T_c (при $E_y = 0$) и $(T_c)_{E_y \neq 0}$ (при некотором $E_y \neq 0$) может реализоваться состояние, отличное от состояния в полярной фазе при $T < (T_c)_{E_y=0}$, поскольку эта область отделена от остальной температурной шкалы аномалиями (максимумами) ϵ_y . Существенно отметить, что аномальная температурная зависимость ϵ_y наблюдалась не на всех исследованных нами образцах Rb_2CoCl_4 . На некоторых образцах зависимости ϵ_y имели обычный вид с одним температурным



Temperaturnaya zavisimost' dilektricheskoye proniçayemosti ϵ_y kriçtalla Rb_2CoCl_4 , poliarizovanogo noçtaynym elektricheskym polem E_y .

1 — $E_y = 0$, 2 — 3.4, 3 — 4, 4 — 4.5,
5 — 6, 6 — 8 kV/cm .

максимумом ϵ_y , смещающимся линейно по электрическому полю на ту же величину, что и правый максимум ϵ_y на рисунке. Измерения, проведенные на образцах разной толщины, показали также, что на появление двух максимумов ϵ_y не влияет форма или размеры образца, т. е. этот эффект не является размерным.

Расщепление температурного максимума ϵ_y на два в поле $E_y \neq 0$, во многом аналогичное приведенному на рисунке, наблюдалось ранее в кристаллах $(\text{NH}_4)_2\text{BeF}_4$ [6] и Rb_2ZnBr_4 [7]. Кроме того, недавно в [8] сообщалось, что в образцах сегнетоэлектриков $[\text{N}(\text{CH}_3)_4]_2\text{XCl}_4$ ($\text{X} = \text{Co}, \text{Zn}, \text{Fe}$), имеющих аналогичные структуру и промежуточную по температуре Н-фазу, в поле $E = 20 \text{ kV}/\text{cm}$ в интервале температур между T_c и $(T_c)_{E \neq 0}$ наблюдается сосуществование сверхструктурных рентгеновских отражений от доменов соразмерной фазы и от несоразмерной модуляции. На основании этих наблюдений предполагается, что поле E вызывает образование субмикроскопических областей соразмерной фазы на фоне структуры Н-фазы. Возможно, что обнаруженные нами для кристаллов Rb_2CoCl_4 температурные аномалии ϵ_y в поле $E_y \neq 0$ также обусловлены

аналогичными причинами и в интервале температур, линейно зависящем от E_g , индуцируется новое состояние с неоднородной структурой, отличное от структуры соразмерной и несоразмерной фаз, причем, по-видимому, реализация этого состояния существенно зависит от дефектности образца. Косвенным подтверждением существенной роли дефектов является меньшее аномальное значение диэлектрической проницаемости для образцов, в которых наблюдаются два температурных максимума.

Список литературы

- [1] Sawada S., Shiroishi Y., Yamamoto A. // Ferroelectrics. 1978. V. 21. N 1/2/3/4. P. 413—445.
- [2] Gesi K. // J. Phys. Soc. Jap. 1985. V. 54. N 7. P. 2401—2403.
- [3] Vanek P., Brezina B., Havrankova M., Biros J. // Phys. St. Sol. (a). 1986. V. 95. P. K101—K103.
- [4] Бржезина Б., Ванек П., Есаян С. Х., Караев А. Д., Леманов В. В. // ФТТ. 1986. Т. 28. № 9. С. 2802—2807.
- [5] Hamano K., Ikeda Y., Fujimoto T., Ema K., Hirotsu S. // J. Phys. Soc. Jap. 1980. V. 49. N 6. P. 2278—2286.
- [6] Kroupa J., Ivanov N. R., Fousek J. // Ferroelectrics. 1988. V. 79. Pt II. N 1/2/3/4. P. 287—290.
- [7] Strukov B. A., Kobayashi J., Uesu Y. // Ferroelectrics. 1985. V. 64. Pt II. N 1/2/3. P. 57—64.
- [8] Kobayashi J., Ozeki M., Kimura T., Tsutsumi Y., Tsukiji N., Shinburi E., Nakatsugawa H. // Ferroelectrics Lett. 1988. V. 8. N 2. P. 41—48.

Институт кристаллографии АН СССР
Москва
Физический институт АН ЧССР
Прага

Поступило в Редакцию
6 февраля 1989 г.

УДК 539.21

Физика твердого тела, том 31, № 7, 1989
Solid State Physics, vol. 31, № 7, 1989

ПРИМЕСНАЯ КИСЛОРОДНАЯ МОДА В СУБМИЛЛИМЕТРОВЫХ СПЕКТРАХ МОНОКРИСТАЛЛИЧЕСКОГО КРЕМНИЯ

А. А. Волков, Ю. Г. Гончаров, В. П. Калинушкин,
Г. В. Козлов, А. М. Прохоров

При низких температурах ($T < 50$ К) в дальних ИК спектрах моно-кристаллического кремния в районе 29 см^{-1} наблюдается линия поглощения, связанная с колебаниями примесного кислорода [1]. Целью настоящей работы явилось изучение температурного поведения параметров этой моды. Сложность задачи связана с большой добротностью моды. Так, для ее неискаженной регистрации в области температуры жидкого гелия требуется спектральное разрешение лучше 0.01 см^{-1} . Такой возможностью на субмиллиметровых волнах обладает ЛОВ спектроскопия [2]; с ее использованием и выполнено данное исследование.

Параметры примесной моды

$T, \text{ К}$	$\nu_0, \text{ см}^{-1}$	$G, \text{ см}^{-1}$	$\Delta\epsilon$
20	29.2	2.7	0.00072
10	29.2	1	0.00085
5	29.2	0.9	0.0009

В качестве объекта исследований был выбран бездислокационный кремний, выращенный методом Чохральского и легированный бором ($\rho \sim 10 \text{ Ом}\cdot\text{см}$), диаметром ≈ 100 мм. Концентрация кислорода, определен-